



БИООРГАНИЧЕСКАЯ ХИМИЯ

том 14 * № 10 * 1988

УДК 577.112.083.3:615.371

АНТИГЕННАЯ СТРУКТУРА ВИРУСА ЯЩУРА

І. СИНТЕЗ ПРОТЕКТИВНЫХ ПЕПТИДОВ ПОСЛЕДОВАТЕЛЬНОСТИ
ОСНОВНОГО ИММУНОГЕННОГО РАЙОНА БЕЛКА VP₁ ВИРУСА ЯЩУРА
ШТАММА О₁К

*Суровой А. Ю., Волынина О. М., Сметкова Е. В.,
Волкова Т. Д., Иванов В. Т., Чепуркин А. В.*,
Иванющенков В. Н.*, Бурдов А. Н.*., Дрягалин Н. Н.**

*Институт биоорганической химии им. М. М. Шемякина
Академии наук СССР, Москва;*

**Всесоюзный научно-исследовательский ящурный институт, Владимир*

Синтезированы фрагменты 145–159, 149–159, 145–152, 136–152, 136–148, 141–148 и 141–152 белка VP₁ вируса ящура штамма О₁К. Иммунизация пептидами 136–148 и 136–152 либо их конъюгатами с гемоцианином улитки обеспечивает 50–100%-ную защиту лабораторных животных от заболевания ящуром, вызываемого вирусом штамма О₁К. Остальные синтезированные пептиды не проявили протективной активности.

Недавние достижения в области разработки противовирусных вакцин продемонстрировали возможность создания эффективных иммуногенных препаратов на основе «нейнфекционных» молекул, полученных с использованием либо технологии рекомбинантных ДНК, либо пептидного синтеза. Работа Андерера по изучению антигенности белка вируса табачной мозаики [1] положила начало целому направлению исследований, имеющим целью применение синтетических пептидов для получения у животных вируснейтрализующих эффектов. Традиционный подход заключается в локализации антигенных детерминант поверхностных белков вируса, синтезе пептидов, моделирующих основные антигенные детерминанты, конъюгации этих пептидов с белками-носителями и иммунизации животных конъюгатами, что должно приводить к образованию вируснейтрализующих антител и (или) созданию иммунологической памяти.

В последнее время активно изучаются подходы к созданию искусственной пептидной противоящурной вакцины. Такой интерес обусловлен нескользкими причинами. Во-первых, ящур — распространенное заболевание домашних животных, напосыпшее большой экономический ущерб животноводству. Во-вторых, используемые в настоящее время противовирусные вакцины, получаемые путем химической инактивации вируса, порой сами являются причиной ящурных эпидемий. В-третьих, возбудитель ящура — РНК-содержащий вирус — является представителем большого семейства вирусов, которое включает в себя возбудителей опасных заболеваний, таких, как гепатит А, полиомиелит и др. Белковые капсиды этих вирусов организованы сходным образом, что дает возможность переносить некоторые данные с одного представителя на другой, а также использовать подходы к созданию противоящурной вакцины как модель для создания других противовирусных вакцин.

Вирус ящура относится к семейству пикориавирусов. Капсид вируса образован 60 копиями четырех белков, обозначаемых как VP₁, VP₂, VP₃ и VP₄. По своим антигенным свойствам вирус ящура подразделяется на семь серотипов: O, A, C, SAT-1, SAT-2, SAT-3 и ASIA. Серотипы, в свою

Приятны сокращения: DCC — динциклогексилкарбодинимид, НОВТ — 1-гидрокси-бензотриазол, KLH — гемоцианин улитки, DMF — диметилформамид, ЭА — этилацетат, ИД — инфекционная доза, Fm — флуорениметил, Pfp — пентафторфенил.

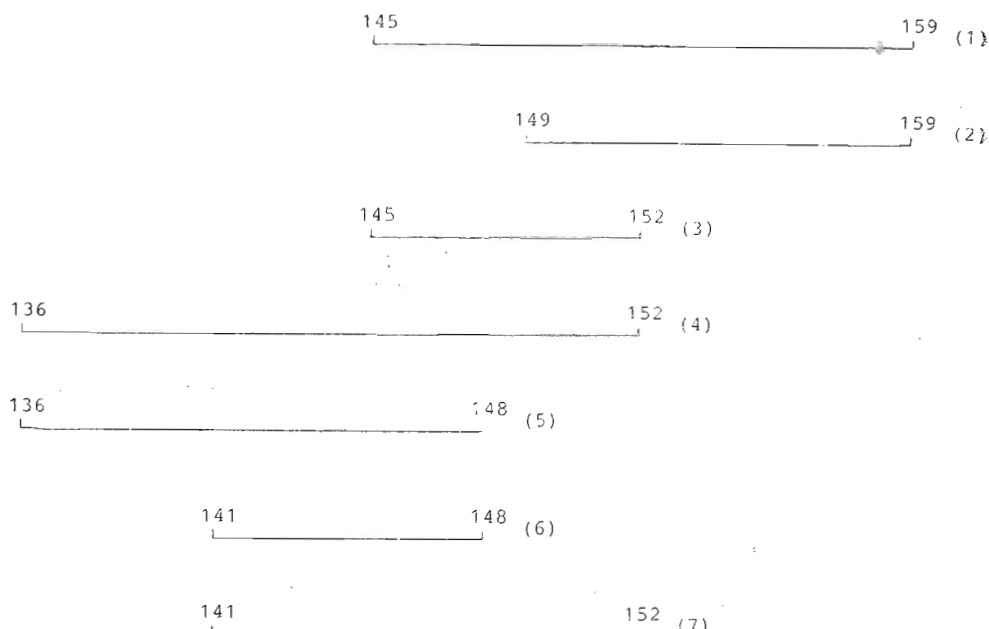


Рис. 1. Синтетические пептиды фрагмента белка VP₁ штамма O₁K вируса ящура

очередь, включают в себя более 70 субтипов. Следует подчеркнуть, что между серотипами нет перекрестных серологических реакций, т. е. вакцинация животных вирусом одного серотипа не приводит к защите от вирусов других серотипов.

Показано, что главные антигенные детерминанты этого вируса, так называемые протективные эпитопы, расположены на поверхности одного из капсидобразующих белков — VP₁ [2, 3]. Однако иммуногенность изолированного белка VP₁ невысока: дозы цельного вируса и выделенного VP₁, вызывающие протективный эффект, различаются на 2–3 порядка [4]. Согласно литературным данным [5, 6], короткие синтетические фрагменты VP₁ являются более сильными иммуногенами, чем сам белок. Полагают, что иммуногенность выделенного VP₁ по сравнению с белком, встроенным в вирусный капсид, обусловлена изменением его конформации, приводящим к скрытию важных вирусных эпитопов. Это обстоятельство является серьезным препятствием на пути создания генно-инженерной противоядущей вакцины на основе экспрессии гена белка VP₁.

Цель настоящей работы — изучение подходов к созданию искусственной противоядущей вакцины с использованием синтетических пептидов. В качестве объекта исследования выбран вирус лабораторного штамма O₁K. Антигенная структура белка VP₁ этого штамма в настоящее время наиболее хорошо изучена, причем этот штамм и встречающиеся на территории СССР штаммы O₁₉₄ и O₁₆₁₈ вступают в перекрестные серологические реакции. Белок VP₁ штамма O₁K содержит 213 аминокислотных остатков [7]. Анализ антигенной структуры белка VP₁ при помощи теоретических методов, позволяющих предсказать вторичную структуру и локализовать экспонированные и высоковариабельные участки, а также изучение иммуногенности фрагментов протеолиза выявили три наиболее вероятных антигенных фрагмента: 40–60, 130–160 и 200–243 [8, 9]. Район 130–160 отличается повышенной вариабельностью, являясь основным иммуногенным районом белка VP₁ [8]. Прямое доказательство присутствия протективных эпитопов в этом районе было получено рядом исследователей в работах с использованием синтетических пептидов. Протективную

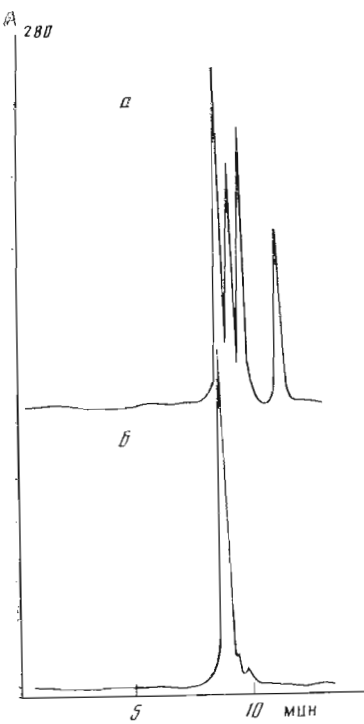


Рис. 2. Анализ реакционной смеси, образующейся в ходе синтеза пептида 136–152 (38) (а) и выделенного пептида (б) методом ВЭЖХ на колонке Silasorb 60 (5,2×250 мм) в DMF при скорости элюирования 1 мл/мин

Пептиды (1)–(7) получены по схемам 1 и 2. Синтез проводили в растворе с использованием блочной конденсации фрагментов. Защитные группы трифункциональных аминокислот были выбраны с расчетом на конечное деблокирование при помощи переносного гидрирования. В качестве временной N-защитной группы использовали Вос-группу, а карбоксильную группу C-концевой аминокислоты либо этерифицировали (получали бензиловые или флуоренилметиловые эфиры), либо защищали путем солеобразования. Для последовательного нарощивания пептидной цепи применяли методы *n*-нитрофениловых, пентафторфениловых и N-оксисукцинимидных эфиров, а также метод смешанных ангидридов. При конденсации фрагментов использовали методы пентафторфениловых эфиров и DCC/НОВТ-метод. Гомогенные препараты всех защищенных пептидов получены экстракцией, промывками и кристаллизацией, за исключением пептида (39), для очистки которого применяли эксклюзионную хроматографию на сефадексе LH-20. Высокая степень чистоты всех защищенных коротких пептидов была доказана при помощи тонкослойной хроматографии, а для характеристики продуктов блочных конденсаций и контроля полноты протекания реакций при конденсации блоков использовали ВЭЖХ в режиме эксклюзии (например, рис. 2). Деблокированные пептиды очищали при помощи либо эксклюзионной, либо ионообменной хроматографии. Для доказательства гомогенности полученных пептидов использовали обращенно-фазовую и ионообменную ВЭЖХ (табл. 1). Все полученные соединения охарактеризованы методом аминокислотного анализа (табл. 2), а продукты блочных конденсаций после предварительного удаления Вос-группы — методом N-концевого анализа.

Для изучения иммуногенных свойств синтетических пептидов были получены их конъюгаты с KLH. Подобные конъюгаты имеют такие оче-

и вируснейтрализующую активность проявляют сыворотки животных, иммунизированных пептидами 141–160, 200–213 [5], 144–159 [6] в виде конъюгатов с гемоцианином улитки, а также свободные пептиды 141–158-Pro-Cys-Gly, 200–213-Pro-Pro-Ser-141–158-Pro-Cys-Gly и Cys-Cys-200–213-Pro-Pro-Ser-141–158-Pro-Cys-Gly [10].

Для локализации антигенной и иммуногенной активности в основном иммуногенном районе белка VP₁ нами синтезированы перекрывающиеся фрагменты района 136–159 [11]. Аминокислотная последовательность синтезированных пептидов приведена на рис. 1.

Пептид 145–159 (1) представляет собой укороченный с N-конца на один аминокислотный остаток ранее описанный фрагмент белка VP₁, который, по данным [6], проявляет протективную активность. Кроме того, получены укороченные аналоги этого фрагмента: 149–159 (2) и 145–152 (3). Синтез пептида 136–152 (4) ранее не описан. Этот фрагмент начинается с экспонированного на поверхности вируса остатка Тгу¹³⁶ [12] и включает высоковариабельный район. Согласно теоретическому анализу этот район обладает высокой гидрофильностью [13]. Для детального анализа этого района синтезирован ряд укороченных перекрывающихся фрагментов: 136–148 (5), 141–148 (6) и 141–152 (7).

Пептиды (1)–(7) получены по схемам 1 и 2. Синтез проводили в растворе с использованием блочной конденсации фрагментов. Защитные группы трифункциональных аминокислот были выбраны с расчетом на конечное деблокирование при помощи переносного гидрирования. В качестве временной N-защитной группы использовали Вос-группу, а карбоксильную группу C-концевой аминокислоты либо этерифицировали (получали бензиловые или флуоренилметиловые эфиры), либо защищали путем солеобразования. Для последовательного нарощивания пептидной цепи применяли методы *n*-нитрофениловых, пентафторфениловых и N-оксисукцинимидных эфиров, а также метод смешанных ангидридов. При конденсации фрагментов использовали методы пентафторфениловых эфиров и DCC/НОВТ-метод. Гомогенные препараты всех защищенных пептидов получены экстракцией, промывками и кристаллизацией, за исключением пептида (39), для очистки которого применяли эксклюзионную хроматографию на сефадексе LH-20. Высокая степень чистоты всех защищенных коротких пептидов была доказана при помощи тонкослойной хроматографии, а для характеристики продуктов блочных конденсаций и контроля полноты протекания реакций при конденсации блоков использовали ВЭЖХ в режиме эксклюзии (например, рис. 2). Деблокированные пептиды очищали при помощи либо эксклюзионной, либо ионообменной хроматографии. Для доказательства гомогенности полученных пептидов использовали обращенно-фазовую и ионообменную ВЭЖХ (табл. 1). Все полученные соединения охарактеризованы методом аминокислотного анализа (табл. 2), а продукты блочных конденсаций после предварительного удаления Вос-группы — методом N-концевого анализа.

Для изучения иммуногенных свойств синтетических пептидов были получены их конъюгаты с KLH. Подобные конъюгаты имеют такие оче-

Времена удерживания пептидов (1)–(7) при обращенно-фазовой и ионообменной ВЭЖХ

Соединение	Время удерживания, мин			
	а	б	в	г
(1)	24	30	—	—
(2)	23	—	—	—
(3)	18,6	—	—	—
(4)	22	22,5	19	11,25
(5)	20,8	—	16,5	—
(6)	19,2	15	—	16,5
(7)	21,6	24,75	—	15,5

Условия хроматографии: а) колонка Ultrasphere ODS, 4,6×150 мм; буферы: А — 0,01% CF_3COON , Б — 70% CH_3CN в А; режим элюирования: 5 мин буфер А, затем 30-минутный линейный градиент до 100% Б, скорость 1 мл/мин; б) колонка Ultrasphere ODS, 4,6×250 мм; буферы: А — 5% CH_3CN в 0,05 М NH_4OAc , Б — 70% CH_3CN в 0,05 М NH_4OAc ; режим элюирования: 7,5 мин буфер А, 20-минутный линейный градиент до 30% Б, затем 10-минутный градиент до 50% Б, скорость 1 мл/мин; в) все условия, за исключением формы градиента, идентичны приведенным в пункте «б». Режим элюирования: 7,5 мин буфер А, затем 40-минутный линейный градиент до 100% Б; г) колонка SpheroGel TSK DEAE 3 SW, 7,5×75 мм, буфер — 0,05 М NH_4OAc , pH 7,5, скорость элюирования 0,25 мл/мин. Во всех случаях поглощение регистрировали при 226 нм.

видные недостатки, как химическая гетерогенность получаемого продукта, широкая специфичность вырабатываемых антител, а также высокая стоимость KLH. Однако, учитывая хорошо известную способность KLH повышать иммуногенность коротких пептидов, мы использовали этот носитель для первоначальной оценки иммуногенности синтезированных пептидов. Иммуногенность всех пептидов, проявивших активность в виде конъюгата с KLH, была изучена и без белка-носителя, в свободном виде.

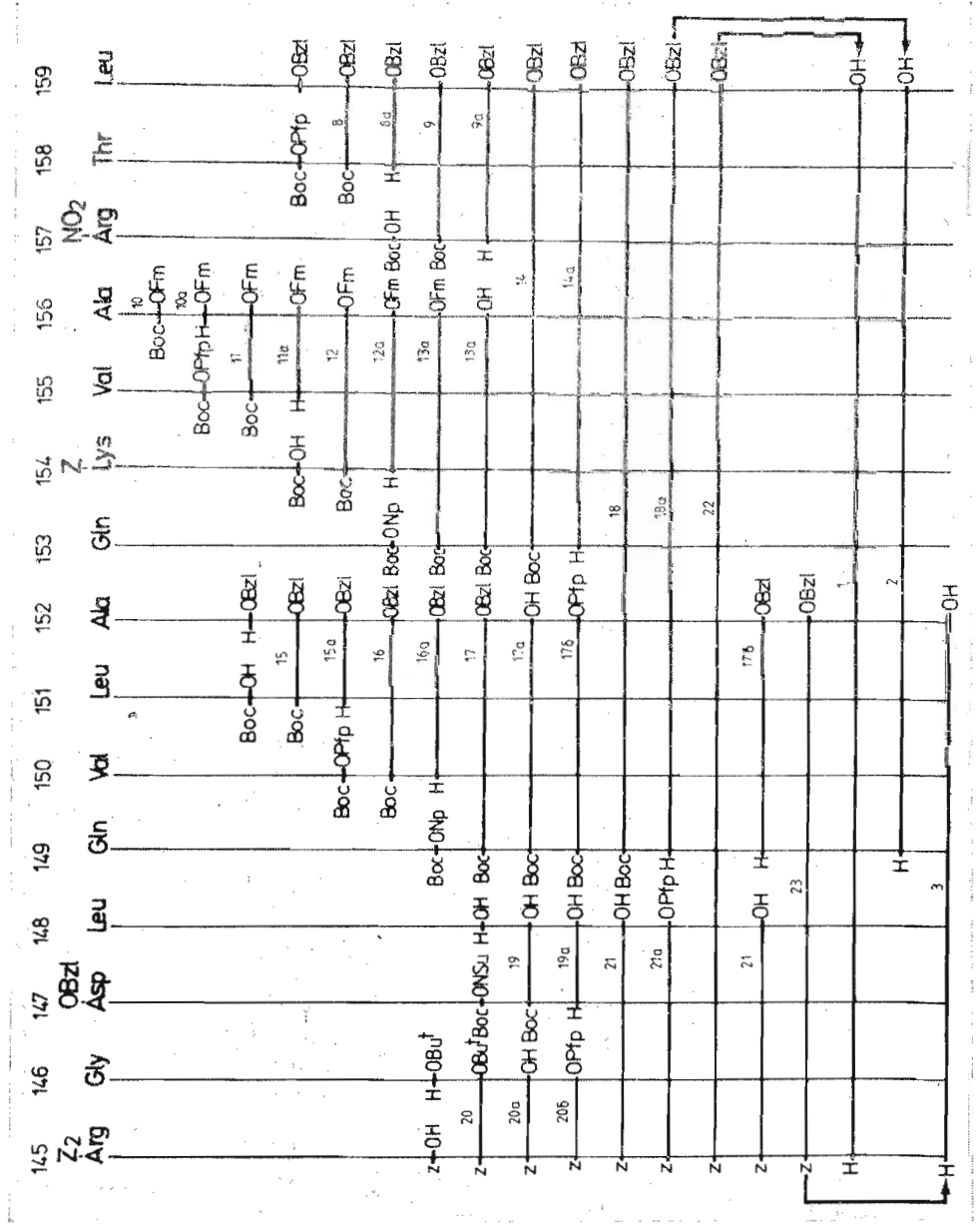
Активность препаратов, полученных на основе синтетических пептидов, изучали на морских свинках * (табл. 3).

Как показывают результаты испытаний, полностью неактивным оказался пептид 145–159. Наиболее высокую активность проявил пептид 136–152, причем 100%-ную защиту животных от заболевания обеспечивал свободный пептид, неконъюгированный с белком-носителем. При изучении иммуногенности перекрывающихся фрагментов пептида 136–152 получены следующие результаты. Пептид 136–148 проявил 50–60%-ный проективный эффект. Как и в случае пептида 136–152, свободный пептид 136–148 и его конъюгат с KLH обладали сходной активностью. Пептиды 141–148 и 141–152 не защищали животных от заболевания.

Таким образом, синтезирован ранее не описанный пептид последовательности 136–152 белка VP₁ вируса ящура штамма О₁К. Это самый короткий из всех известных пептидов, проявляющих после вакцинации в свободном виде 100%-ное защитное действие против вируса ящура. Поскольку пептид 136–152 проявляет протективные свойства в свободном виде, без белка-носителя, можно предположить, что в его состав входит не только В-эпипотоп, обеспечивающий выработку вируснейтрализующих антител, но и Т-эпипотоп, заменяющий действие белка-носителя. В ходе дальнейшей работы предполагается локализовать и синтезировать Т- и В-эпипотопы и создать на их основе оптимальные конструкции, вызывающие максимальный иммунологический ответ, специфичный к вирусу ящура. Параллельно проводится аналогичная работа по синтезу иммуногенных пептидов белка VP₁ другого серотипа — А (штамм A₂₂).

* Более подробно иммуногенные и антигенные свойства синтезированных пептидов будут описаны в отдельной публикации.

Схема 1. Синтез пептида 145–159



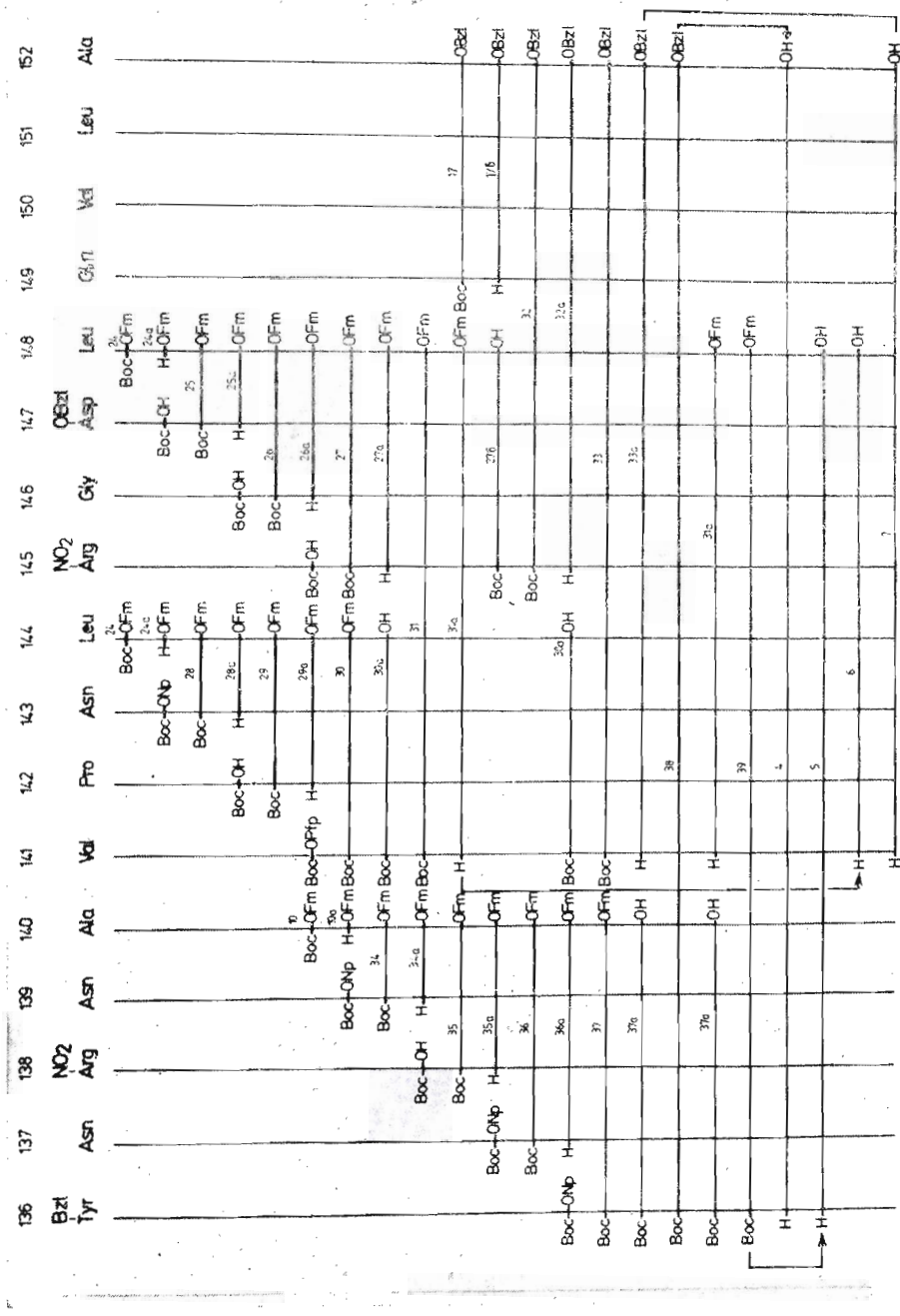


Схема 2. Синтез пептида 136–152

Таблица 2

Данные аминокислотного анализа синтетических цеппидов

Соединение	Asp	Ala	Val	Pro	Arg	Leu	Gly	Glu	Lys	Thr	Tyr
(1)	1,00(1)	1,93(2)	1,90(2)	1,92(2)	1,90(2)	0,92(1)	2,89(3)	1,07(1)	2,00(2)	0,95(1)	0,95(1)
(2)		2,00(2)				0,98(1)	2,08(2)		2,03(2)	1,02(1)	0,96(1)
(3)	1,00(1)	1,01(1)	0,97(1)				2,00(2)	1,04(1)	1,00(1)		0,82(1)
(4)	3,97(4)	1,98(2)	1,98(2)	1,98(2)	1,04(1)	2,08(2)	3,00(3)	1,00(1)			0,85(1)
(5)	4,01(4)	1,00(1)	0,95(1)	1,00(1)	1,00(1)	2,01(2)	2,00(2)	1,02(1)			
(6)	2,01(2)		0,97(1)	0,98(1)	1,03(1)	1,03(1)	2,08(1)	1,00(1)			
(7)	1,99(2)	1,05(1)	1,89(2)	0,93(1)	1,02(1)	1,02(1)	3,02(3)	1,04(1)	1,01(1)	1,00(1)	0,95(1)
(8)						0,90(1)	1,00(1)				
(9)											
(10)											
(11)											
(12)											
(13)											
(14)											
(15)											
(16)											
(17)											
(18)											
(19)											
(20)											
(21)											
(22)											
(23)											
(24)											
(25)											
(26)											
(27)											
(28)											
(29)											
(30)											
(31)											
(32)											
(33)											
(34)											
(35)											
(36)											
(37)											
(38)											
(39)											

Таблица 3

Иммуногенность синтетических пептидных фрагментов белка VP₁ вируса ящура штамма O₁K

Иммуноген	Носитель	Число животных зараженных/заболевших	Эффективность защиты, %
Вирус	—	5/0	100
145–159	KLH	5/5	0
145–159	—	5/5	0
136–152	KLH	5/1	80
136–152	—	5/0	100
136–148	KLH	4/2	50
136–148	—	5/2	60
141–152	KLH	5/5	0
141–152	—	5/5	0
141–148	KLH	5/5	0
141–148	—	5/5	0

Иммунизацию проводили двукратно с интервалом в 44 сут. Доза пептида — 200 мкг на однократную иммунизацию. Первую иммунизацию проводили с полным адьювантом Фрейнда, вторую — с неполным. Для определения протективного эффекта на 55-е сут после первой иммунизации проводили заражение морских свинок путем введения 200–500 ИД₅₀ вируса O₁K в подушечки лап. Эффективность защиты определяли по числу животных, не заболевших генерализованной формой ящура. В первой строке таблицы приведены данные по иммунизации 5 мкг инактивированного очищенного вируса O₁K.

Таблица 4

Условия ТСХ синтезированных соединений

Растворитель	Объемные соотношения компонентов в системах														
	1	2	3	4	5	6	7	8	9	10	11	12	13	14	15
Гексан	1	3	—	—	—	—	—	—	—	—	—	—	—	—	—
Эфир	—	1	—	—	—	—	—	—	—	—	—	—	—	—	—
Хлороформ	1	—	20	9	3	1	40	6	5	5	15	4	—	10	—
Этилацетат	1	1	20	3	1	1	20	3	5	5	5	4	4	10	—
Изопропанол	—	—	—	—	—	—	1	—	—	—	—	—	—	—	—
n-Бутанол	—	—	—	—	—	—	—	—	—	—	—	—	—	42	—
Метанол	—	—	—	1	1	1	1	—	5	5	5	1	—	10	—
Придин	—	—	—	—	—	—	—	—	—	—	—	—	—	24	—
25% NH ₄ OH	—	—	—	—	—	—	—	—	—	1	—	—	—	—	—
Уксусная кислота	—	—	—	—	—	—	—	—	1	—	4	—	1	4	2
Вода	—	—	—	—	—	—	—	—	—	—	—	—	1	30	1

Экспериментальная часть

В работе использованы реагенты и производные аминокислот фирм Reanal (ВНР), Fluka (Швейцария) и Merck (ФРГ). ТСХ на пластинках с закрепленным слоем силикагеля Kieselgel 60 (Merck, ФРГ) проводили в системах, состав которых указан в табл. 4. Для колончной хроматографии использовали сефадексы LH-20, G-10, G-25 и CM-сефадекс C-25 (Pharmacia, Швеция); поглощение элюата регистрировали при помощи детектора Uvicord SII (LKB, Швеция). Для высокоеффективной хроматографии использовали прибор фирмы Dupont (США). Гидролиз пептидов проводили в течение 45 мин при 170° С в смеси 6 н. HCl–CF₃COOH (2 : 1) либо в 6 н. HCl в течение 24 ч при 115° С. Растворители абсолютизировали обычным образом [14]. Условия получения и очистки всех описанных соединений приведены в табл. 5. Синтез проводили по следующим методам:

4. Удаление Вос-группы. 1. Пептид растворяли в смеси CF₃COOH–CH₂Cl₂ (1 : 1), либо в 70% водной CF₃COOH. Через 30–40 мин раствор упаривали. К остатку добавляли толуол и раствор упаривали, операцию повторяли 2–3 раза.

2. Если в последующей реакции конденсации использовали метод Б, то в этих случаях образовывали соль пептида с n-толуолсульфокислотой: за 15 мин до конца деблокирования 50% CF₃COOH в CH₂Cl₂ добавляли 1 экв. n-толуолсульфокислоты, далее смесь обрабатывали как было описано выше.

Б. Метод смешанных ангидридов. К охлажденному до -15° С раствору 1 экв. карбоксильного компонента и 1 экв. N-метилморфорлина в минимальном объеме DMF добавляли 1 экв. изобутилхлорформиата, смесь перемешивали 1–2 мин при -15° С, затем добавляли по каплям раствор 1 экв. n-толуолсульфоната амишокомпонента и 1 экв.

Условия получения и очистки соединений (1)–(39)

Соединение	Метод синтеза	Метод очистки	Выход, %	R_f (λ ₂ системы)
(1)	Е	Н(эфир); О(СМ-сефадекс G-25, 0,2 н. NH ₄ OAc pH 5,2)	79	0,38(15)
(2)	Е	Н(эфир); О(сепадекс G-25, 0,1 н. AcOH)	63	0,51(15)
(3)	Е	Н(эфир); О(сепадекс G-25, 0,1 н. AcOH)	81	0,32(15)
(4)	А, Е	Н(эфир); О(сепадекс G-10, 0,1 н. AcOH; СМ-трипакрил, 0,1 н. NH ₄ OAc, pH 4,5)	65	0,30(15)
(5)	А, Е	Н(эфир); О(сепадекс G-10, 0,1 н. AcOH; СМ-сефадекс G-25, 0,1 н. NH ₄ OAc, pH 5,7)	60	0,25(15)
(6)	А, Е	Н(эфир); О(сепадекс G-25, 0,1 н. AcOH)	71	0,32(15)
(7)	А, Е	Н(эфир); О(сепадекс G-10, 0,1 н. AcOH; СМ-трипакрил, 0,1 н. NH ₄ OAc, pH 4,5)	79	0,40(15)
(8)	Д	Л, М(эфир – гексан)	88	0,50(1); 0,64(4)
(8a)	A ₁	Н(эфир)	99	0,50(5)
(9)	Б	Л, М(ЭА – эфир)	92	0,75(3), 0,85(5)
(9a)	A ₁	Н(эфир)	98	0,52(10), 0,31(5)
(10)	Ж ₁	Л, М(ЭА – гексан)	70	0,59(2)
(10a)	A ₂	Н(ЭА)	98	0,27(8)
(11)	Д	Л, М(ЭА – гексан)	78	0,75(1), 0,36(2)
(11a)	A ₁	Н(эфир)	95	0,4(5)
(12)	Б	Л, М(ЭА – эфир)	77	0,8(4), 0,25(1)
(12a)	A ₁	Н(эфир)	95	0,55(5)
(13)	В	Н(ЭА)	70	0,65(5), 0,80(16)
(13a)	З	Н(H ₂ O)	90	0,30(5), 0,75(16)
(14)	Б	Л, М(CF ₃ CH ₂ OH – эфир)	90	0,84(3), 0,81(6), 0,652(11)
(14a)	A ₁	Н(эфир)	85	0,60(13)
(15)	Б	Л	98	0,70(7)
(15a)	A ₁	Н(эфир)	99	0,28(4)
(16)	Д	Л, М(ЭА – гексан)	95	0,71(4), 0,46(1), 0,51(7)
(16a)	A ₁	Н(эфир)	99	0,54(6), 0,85(3)
(17)	В	Н(эфир), М(CH ₃ OH – эфир)	85	0,45(12), 0,24(4), 0,73(6)
(17a)	Е	М(CH ₃ OH – эфир)	98	0,79(13), 0,26(6)
(17б)	Г	—		0,54(7)
(17в)	A ₁	Н(ЭА)	95	0,47(13)
(18)	Д	Н(диоксан)	95	0,75(13), 0,75(6)
(18a)	A ₁	Н(эфир)	97	0,38(9)
(19)	К	Л	85	0,31(6), 0,25(9)
(19a)	A ₁	Н(эфир)	96	0,28(6)
(20)	Б	Л, М(ЭА – эфир)	95	0,86(8), 0,52(1), 0,91(4)
(20a)	A ₁	Н(эфир)	88	0,55(6)
(20б)	Г	Н(эфир)	98	0,66(1), 0,93(6)
(21)	Д	Л, М(ЭА – эфир)	95	0,76(6), 0,27(4)
(21a)	Г	Н(эфир)	88	0,77(4), 0,83(3)
(22)	Д	Н(диоксан)	80	0,85(13), 0,78(6), 0,46(16)
(23)	И	Н(диоксан)	75	0,82(6), 0,61(5)
(24)	Ж ₂	Л	70	0,71(2)
(24a)	A ₂	Н(эфир)	95	0,48(4)
(25)	Б	Л, М(ЭА – эфир)	87	0,55(2), 0,95(4), 0,77(1)
(25a)	A ₂	Н(эфир)	95	0,58(4)
(26)	Б	Л, М(эфир – гексан)	85	0,62(4), 0,67(8), 0,28(1)
(26a)	A ₂	Н(эфир)	95	0,56(6)
(27)	Б	Л, М(ЭА)	70	0,72(6), 0,67(5), 0,75(14)
(27a)	A ₁	Н(эфир)	95	0,50(6)
(27б)	З	М(ЭА)	80	0,48(13), 0,51(14)
(28)	В	Н(ЭА)	90	0,48(4), 0,90(13), 0,51(8)
(28a)	A ₂	Н(ЭА)	95	0,65(13)
(29)	Б	Л, М(ЭА)	80	0,34(8), 0,37(4), 0,82(6)
(29a)	A ₁	Н(эфир)	95	0,55(5)
(30)	Д	Л, М(ЭА – эфир)	60	0,62(4), 0,72(8)
(30a)	З	Н(эфир)	72	0,72(13)
(31)	И	Л, М(ЭА)	70	0,60(5), 0,82(6), 0,58(16)
(31a)	A ₁	Н(ЭА)	90	0,62(13)

Таблица 5 (продолжение)

Соединение	Метод синтеза	Метод очистки	Выход, %	R_f (№ системы)
(32)	И	H(ЭА)	82	0,80(6), 0,53(5), 0,65(16)
(32a)	A ₁	H(ЭА – эфир)	95	0,58(13)
(33)	И	H(ЭА)	80	0,77(13), 0,63(16), 0,78(6)
(33a)	A ₁	H(ЭА, эфир)	85	0,47(13)
(34)	В	H(ЭА)	92	0,47(4), 0,70(5), 0,50(8)
(34a)	A ₂	H(ЭА, эфир)	85	0,50(6), 0,12(4)
(35)	Б	L, H(ЭА)	80	0,56(5), 0,81(6), 0,64(16)
(35a)	A ₁	H(ЭА)	95	0,64(13)
(36)	В	H(ЭА)	75	0,47(14), 0,80(13), 0,45(6)
(36a)	A ₁	H(ЭА)	95	0,36(13)
(37)	В	H(ЭА)	90	0,75(13), 0,4(16)
(37a)	З	H(1% HCl)	80	0,60(13)
(38)	И	H(H ₂ O), H(DMF-ЭА)	75	0,75(13), 0,35(16)
(39)	И	H(H ₂ O), O(сепадекс LH-20, DMF)	60	0,74(13), 0,40(16)

N-метилморфолина в DMF. Реакционную смесь перемешивали 30 мин при -15°C и 30 мин при 20°C .

В. Метод *n*-нитрофениловых эфиров. Раствор 1 экв. *n*-нитрофенилового эфира карбоксильного компонента (в случае пептидов (34), (36) и (37)) использовали до 3 экв. *n*-нитрофениловых эфиров), 1 экв. трифторацетата аминокомпонента, 1 экв. N-метилморфолина и 2 экв. НОВТ в минимальном объеме DMF перемешивали 3–15 ч при 20°C .

Г. Получение пентафторфениловых эфиров. Раствор 1 экв. аминокислоты или пептида и 1,5 экв. пентафторфенола в тетрагидрофуране охлаждали до -5°C , а затем добавляли 1,2 экв. DCC. Реакционную массу перемешивали 1 ч при 0°C и 2 ч при 20°C , дициклогексилмочевину отфильтровывали, а полученный эфир либо сразу вводили в реакцию, либо выделяли.

Д. Метод пентафторфениловых эфиров. К раствору 1 экв. пентафторфенилового эфира карбоксильного компонента в DMF добавляли смесь 1 экв. трифторацетата аминокомпонента, предварительно нейтрализованного N-метилморфолином, и реакционную массу перемешивали 2 ч при 0°C и 1–10 ч при 20°C .

Е. Удаление защитных групп гидрированием. Пептид растворяли в смеси CH₃OH–HCOOH (7:3), добавляли Pd-чёрнь и пропускали водород 10–24 ч при 20°C . Катализатор отфильтровывали и фильтрат упаривали.

Ж. Получение флуоренилметиловых эфиров. 1. Раствор 1 экв. *n*-нитрофенилового эфира аминокислоты, 1 экв. флуоренилметанола и 1 экв. имидазола в толуоле перемешивали 3–4 ч, затем раствор упаривали, а полученный эфир выделяли. 2. Раствор 1 экв. аминокислоты, 1 экв. флуоренилметанола и 0,1 экв. диметиламинопиридина в этилацетате охлаждали до 0°C , затем добавляли 1,2 экв. DCC и смесь перемешивали 30 мин при 0°C и 4 ч при 20°C , после чего дициклогексилмочевину отфильтровывали, фильтрат упаривали и выделяли полученный эфир.

З. Удаление флуоренилметильной группы. Флуоренилметиловый эфир пептида растворяли в 20% растворе пиридина в DMF и выдерживали 40–60 мин при 20°C . Раствор разбавляли этилацетатом, подкисляли 1 н. HCl до pH водной фазы 2,5, органическую фазу промывали водой.

И. DCC/HOBТ-метод. К раствору 1 экв. карбоксильного компонента в DMF добавляли 1,2 экв. DCC и 2 экв. НОВТ при -5°C . Через 30 мин добавляли 1 экв. трифторацетата аминокомпонента, нейтрализованного N-метилморфолином. Реакционную массу перемешивали 30 мин при 0°C и 2–15 ч при 20°C . Затем добавляли CH₃COOH до pH 5, дициклогексилмочевину отфильтровывали.

К. Метод N-оксисукцинилимида эфиров для пептидов со свободным C-концом. К охлажденной до 0°C суспензии 1 экв. гидрохлорида аминокомпонента и 2 экв. NaHCO₃ в 50% водном диоксане добавляли 0,5 экв. N-оксисукцинилидного эфира карбоксильного компонента и перемешивали 1 ч при 0°C и 20 ч при 20°C . Затем смесь подкисляли 1 н. HCl до pH 2,5 и экстрагировали этилацетатом.

Методы очистки продукта реакции

Л. Реакционную смесь упаривали, остаток растворяли в этилацетате, в случае низкой растворимости отдельных пептидов использовали *n*-бутанол. Полученный раствор промывали 3 раза 5% NaHCO₃, водой, 3 раза 10% лимонной кислотой, водой, высушивали над безводным Na₂SO₄ и упаривали.

М. Кристаллизовали из растворителя, указанного в табл. 5 в скобках, и отфильтровывали.

Н. Раствор упаривали до минимального объема и продукт реакции осаждали растворителем, указанным в табл. 5 в скобках, и отфильтровывали.

О. Хроматографическая очистка. Условия хроматографии указаны в табл. 5 в скобках.

Получение препаратов для иммунизации. Конъюгацию пептидов с KLH проводили согласно описанной методике [6]. 15 мг KLH и 3 мг пептида в 0,1 М Na-фосфатном буферре (рН 7,5) перемешивали 30 мин, затем в течение 1 ч добавляли по каплям 0,5 мл 0,5% раствора глутарового альдегида в воде. Реакционную массу перемешивали-15 ч, после чего днализовали против Na-фосфатного буфера, рН 7,5.

ЛИТЕРАТУРА

1. Anderer F. A. // Biochim. et biophys. acta. 1963. V. 71. № 2. P. 246–248.
2. Bachrach H. L., Moore D. M., McKercher P. D., Polatnick J. // J. Immunol. 1975. V. 115. № 6. P. 1636–1641.
3. Laporte J., Grosclaude J., Watyghem J., Bernard S., Rouce P. // C. R. Acad. Sci. 1973. V. 276. Ser. D. P. 3399–3401.
4. Bachrach H. L., Morgan D. D., McKercher P. D., Moore D. M., Robertson B. H. // Vet. Microbiol. 1980. V. 7. № 1. P. 85–96.
5. Bittle J. L., Houghten R. A., Alexander H., Shinnic T. M., Sutcliffe J. G., Lerner R. A., Rowlands D. J., Brown F. // Nature. 1982. V. 298. № 5869. P. 30–33.
6. Pfaff E., Mussgay M., Bohm H. D., Schulz G. E., Schaller H. // EMBO J. 1982. V. 1. № 7. P. 869–874.
7. Kurz C., Forss S., Kupper H., Strohmaier K., Schaller H. // Nucl. Acids Res. 1981. V. 9. № 8. P. 1919–1931.
8. Strohmaier K., Franze R., Adam K. H. // J. Gen. Virol. 1982. V. 59. № 2. P. 295–306.
9. Cheung A., DeLamarter J., Weiss G., Kupper H. // J. Virol. 1987. V. 61. № 5. P. 1621–1629.
10. DiMarchi R., Brooke G., Gale C., Dracknell V., Doel T., Mowet N. // Science. 1986. V. 232. № 4764. P. 639–641.
11. Суровой А. Ю., Вольпина О. М., Иванов В. Т., Чепуркин А. В., Иванющенков В. Н., Бурдов А. Н., Дрягалин Н. Н. // Биоорганическая химия. 1987. Т. 13. № 8. С. 1132–1135.
12. Robertson B. H., Moore D. M., Grubman M. J., Kleid D. J. // J. Virol. 1983. V. 46. № 1. P. 311–316.
13. Hopp T. P., Woods K. R. // Proc. Nat. Acad. Sci. USA. 1981. V. 78. № 6. P. 3824–3828.
14. Стюард Дж., Янг Д. // Твердофазный синтез пептидов. М.: Мир, 1971. С. 76–77.

Поступила в редакцию
25.IV.1988

ANTIGENIC STRUCTURE OF FOOT-AND-MOUTH DISEASE VIRUS.

I. SYNTHESIS OF PROTECTIVE PEPTIDES FROM THE IMMUNODOMINANT REGION OF VP₁ PROTEIN OF FMDV O₁K STRAIN

SUROVOY A. Yu., VOLPINA O. M., SNETKOVA E. V.,
VOLKOVA T. D., IVANOV V. T., CHEPURKIN A. V.*,
IVANYUSHCHENKOV V. N.*, BURDOV A. N.* , DRYAGALIN N. N.*

M. M. Shemyakin Institute of Bioorganic Chemistry,
Academy of Sciences of the USSR, Moscow;
* All-Union Research Institute Foot-and-Mouth Disease, Vladimir

A series of overlapping peptides with the sequence of the immunodominant region of VP₁ protein of FMDV strain O₁K have been synthesized by the classical solution method. Peptides were purified by standard methods and used for immunization of guinea-pigs. It is shown that the 136–152 and 136–148 segments provide antiviral protection in guinea pigs, both in the free state and conjugated with an immunogenic carrier. Results with uncoupled peptides indicated that these segments may form not only B-, but also T-cell affecting sites.